

討7 圧延板の形状とロールの形状について

東北大学 金属材料研究所 ○田中英八郎
姫路工業大学 産業機械科 吉誠忠經

1. 緒 言 最近、高性能プレス機械を採用している薄板2次加工メーカーからの要求で圧延板の長さ方向の板厚公差や平坦さなどの寸法的な要求がますます厳しくなる傾向にある。プレス成形素材の帶板の板厚および板中が変化したり、帶板がボーイング(Bowing)を起していようと成形工程に種々の支障が生じ、折角の自動化され高速化されたプレス機械もその性能が十分に發揮できない。

小型部品の成形素材としては広中の帶板を細いテープ状にマルチ・スリッキングを行なって使用することが多いが、このとき広中の帶板の形状(平坦さ)が悪ければスリッキングした後のテープはボーイングを起し、ボーイングの弯曲の大きさは板の平坦さと密接な関係がある。

衆知の如く、硬質材料の広中、薄板圧延にはロール直型の小さい多段圧延機が使用されるが、ロール直型が小さい場合には平面圧縮の状態から離れたため、ロール直型の大きい圧延機に比べて圧延される板の平坦さが著しく悪くなる本質的な欠点をもっており、ロール研削精度、ロール・クラウン、圧下力などの不適正が直ちに不均一延びの原因となり、圧延板の平坦さに著しい影響を及ぼす。

圧延板の形状に関する因子としては、素材の形状、ロール研削仕上げ度、ロール形状、圧延時の前方張力、熱発生によるロール膨脹、潤滑油、ロール摩耗など多くの因子が考えられる。

本研究は、小笠ワーク・ロールをもつセンドミーヤ20段圧延機(ZR32-4)で平坦な薄板を得るためにの圧延条件を基礎的に研究するため、最も基本的な因子であるロール形状と圧延される板の平坦さの関連について実験的解析を行なった。

2. 実験方法 および 結果 センドミーヤ圧延機ではコイルをリールにセットして圧下を行なってから圧延を開始する。静的に圧下をした後、accrew-upすると素材にロール圧痕が残り、ロール圧痕のプロファイルと板の平坦さは密接な関係があることが推察できる。すなわち、素材が矩形断面であれば圧痕が大鼓型では中延びとなり、糸巻き型では端延びとなり、平行な圧痕の場合に平坦な板が圧延できることは容易に推定できる。

2.1 適正なワーク・ロール・クラウンの形状： 上述の推定のもとに、矩形断面の素材(0.067%炭素鋼、 $0.20\text{mm}^2 \times 100\text{mm}$ 中、板中方向の板厚変化 0.001mm 以下)を作り、静的に圧下を行なうロール圧痕中の板中方向の分布----以下“圧痕中分布”と呼ぶ----を測定した。実験に使用したワーク・ロールの形状は図1に示す放物線型、円型、角型のクラウンをもつもので他のバット・アップ・ロールはすべてflat Rollである。素材をパス・ラインの中心に合致するようにハウジング入口、出口に案内を設け、矩尺(1m)の板に圧下力を1.0~7.0 ton の範囲で変化させ圧痕をついた。圧痕中の測定は読み取り顕微鏡を使用した。測定場所は板端から $1, 10, 20, \dots, 80, 90, 99\text{ mm}$ の場所である。

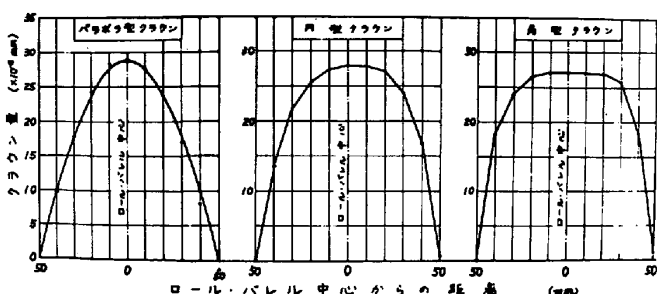


図1. 実験に使用したワーク・ロール・クラウンの形状

各ロールについて圧下力を増加させたときの圧痕中分布を図2に示す。上側ワーク・ロールはフラット・ロール、下側に図1のクラウン・ロールを使用した。板の表裏の圧痕中分布は全く同じであった。図2から気付くことは、圧痕中分布は板の中心に対して非対称であることである。これは素材断面やロール・クラウンの非対称によるものではなく、

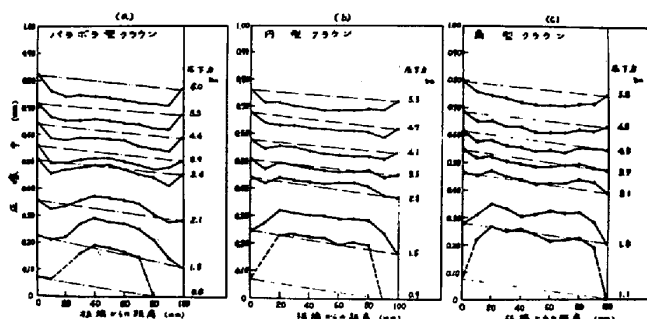


図2 静的圧下による圧痕中分布とロール形状との関係

板全体に渡って圧痕中がほど等しく2次鏡線に近似し、それ以上の圧下力となると板端の方が中央より大きくなる。次に、各ロールについて中程度の圧下力(3.1~3.7 t/mm²)における圧痕中分布を比較すると放物線型では板端から10, 90mmの場所の圧痕中が小さく、板端と中央が最大である。円型、角型ではこのような傾向は少ない。すなわち、中程度の圧下力における圧痕の平行度の順序は(2次鏡線との合致の程度)、円型→角型→放物線型と悪くなる。2段圧延機で適正な形狀であるとされていき放物線型クラウンはセンターミーヤ圧延機では適正ではなく、円型クラウンの方がより適正な形狀であることが明白である。なお、圧痕中分布と圧延した薄板の伸び方は良い対応性を示し、放物線型の中程度の圧下力で圧延した場合には中伸びと端伸びの共存した板が圧延され平坦度は著しく悪かった。

多段圧延機では、ロール支持機構が複雑であり、ロール弯曲の曲線や接觸変形によるバレル方向の変位分布を厳密に求めることは困難である。こゝでは静的圧下時の圧痕が板の塑性条件とロールの弹性条件を満足したものと考え、ワーカ・ロールをフラットロールにしてロール圧痕をつけ、圧痕深さの板中方向の分布を求めた。ロール・バレル方向の扁平変形の差はないことを圧痕断面のプロファイルの測定から確かめ $R'/R = 1.2$ として圧痕中から圧痕深さを計算した。

図3は圧痕深さの板中方向の分布(実線)とロール・クラウンの形狀を比較したもので、クラウン形狀の適正度が定量的に分る。圧痕深さの分布曲線はまた上下ロール間隙のバレル方向の分布曲線とも考えることができ、平坦な薄板の圧延できき最も適正なロール・クラウンの形狀である。それと各ロール・クラウン(真綿)を比較することにより適正度が定量的に判定できる。放物線型は実線から板端にかけ離れており、実線は円型と角型の中間にあることが分り、円型、角型の方がより適正であることが再確認された。

図3または圧痕中分布の結果が示唆することは多段圧延機においても板側にロールが弯曲し、板端から10mmのところから急激に弯曲することである。これを実験的に確認するために、図4の如くワーカ・ロールに測定棒を接着、固定し、ロール延長上の2点で圧下に伴う下降量(δ_e , δ_m)をダイヤル・

圧延機固有の特性すなわちハウジング内部やベアリング・サドルの工作精度によるものと思われる。従って、圧痕中分布を考えるときは両端の圧痕中を結んだ2次鏡線を規定線とし、例えば圧痕中分布と2次鏡線の合致する条件を平行な圧痕と考えた。

図2から分ることは、いづれの型のロール・クラウンでも圧下力が小さいときは板端の圧痕中が中央より小さく、圧下力が一定圧下力に増加するとき板中全体に渡って圧痕中がほど等しく2次鏡線に近似し、それ以上の圧下力となると板端の方が中央より大きくなる。次に、各ロールについて中程度の圧下力(3.1~3.7 t/mm²)における圧痕中分布を比較すると放物線型では板端から10, 90mmの場所の圧痕中が小さく、板端と中央が最大である。円型、角型ではこのような傾向は少ない。すなわち、中程度の圧下力における圧痕の平行度の順序は(2次鏡線との合致の程度)、円型→角型→放物線型と悪くなる。2段圧延機で適正な形狀であるとされていき放物線型クラウンはセンターミーヤ圧延機では適正ではなく、円型クラウンの方がより適正な形狀であることが明白である。なお、圧痕中分布と圧延した薄板の伸び方は良い対応性を示し、放物線型の中程度の圧下力で圧延した場合には中伸びと端伸びの共存した板が圧延され平坦度は著しく悪かった。

多段圧延機では、ロール支持機構が複雑であり、ロール弯曲の曲線や接觸変形によるバレル方向の変位分布を厳密に求めることは困難である。こゝでは静的圧下時の圧痕が板の塑性条件とロールの弹性条件を満足したものと考え、ワーカ・ロールをフラットロールにしてロール圧痕をつけ、圧痕深さの板中方向の分布を求めた。ロール・バレル方向の扁平変形の差はないことを圧痕断面のプロファイルの測定から確かめ $R'/R = 1.2$ として圧痕中から圧痕深さを計算した。

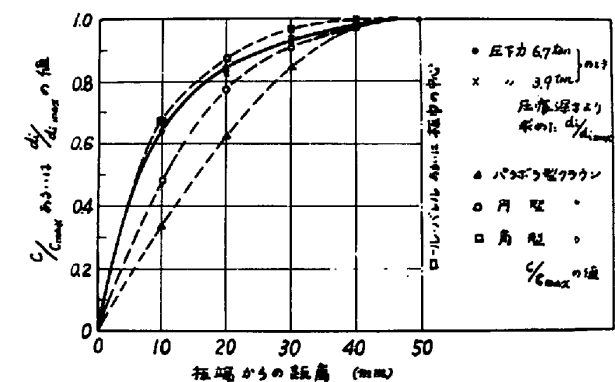


図3. 圧痕深さの分布曲線とロール・クラウン形狀との比較。

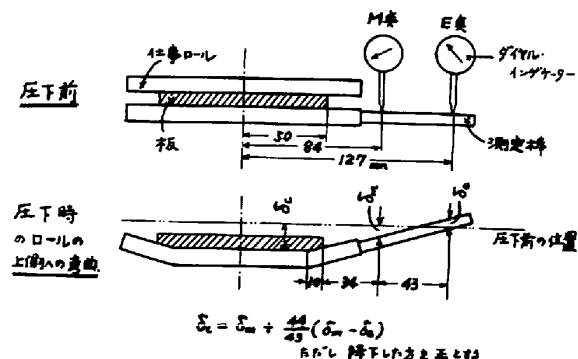


図4. 静的圧下時のワーカ・ロール弯曲の測定法。

インデケーターで測定した。結果の詳細は発表時にゆづるが、上側、下側ロールにクラウン、フラット・ロールのいずれの組合せを採用しても $\delta_e < \delta_m$ であり、図4の下図の如く彎曲する傾向があることが確かめられた。また、 δ_e 、 δ_m の値から計算した δ_c の値は上、下ロールの組合せに拘らず、すべて同一の値で、接触変形による全変位量の値とほぼ一致している。すなわち、ロール中央部では接触変形による各ロールの相対接近により降下し、板の端部から急速に板側に彎曲する弾性変形が生ずるものと考えられる。

2・2 オ1中間ロールの形状と平坦な薄板の得られる圧延条件： 薄板の冷間圧延においてはワーフ・ロールにクラウン・ロールを使用する代りに、オ1中間ロールにテーパー・ロールを採用し、ワーフ・ロールにはフラット・ロールを使用する方法があることは衆知である。しかし、オ1中間ロールの形状と板の平坦さの関係については系統的な研究はない。

薄板の平坦さにおけるオ1中間ロールの形状の影響を実験的に検討するために、平行部長さ(F)、テーパー量(T)の異なるロールを研削し、それぞれのロールで圧延可能な範囲で変化して圧延を行ない、圧延板の平坦さを観察した結果を図5に示す。図5は低炭素鋼の $0.055\text{ mm} \times 100\text{ mm}$ 中 (68.7% 壓延材) を素材としたもので板の伸び方を定性的に表示している。図から、比較的平坦な薄板の圧延できるものは平行部長さが長い ($3\frac{1}{4}F$ 、または $3\frac{1}{2}F$) ものか、平行部長さが短かくてもテーパー量の少ないもの ($3\frac{1}{4}F$, $0.002T$) であることが判明する。平行部長さが短かくてテーパー量の大きいものは、テーパー肩部に対応する部分が極端に伸びてより平坦さが著しく悪くなった。

次に軟ガル素材を使用して大中に圧下力を変化させ平坦な薄板の得られる圧下力、1パス圧下率とロール形状との関係を調べた。厳密にはすべてのロールで平坦な薄板を得られないが、圧下力を増加して

表1. 比較的平坦な薄板の得られる
3圧下力、圧下率における
ロール形状の影響

| 平行部長さ | テーパー量 | 1パス圧下率 | 圧下力 |
|----------------|-------|--------|------|
| in | in/in | % | ton |
| 3 | 0.002 | 21.5 | 2.0 |
| | 0.004 | 43.1 | 3.4 |
| | 0.006 | 45.0 | 4.7 |
| $3\frac{1}{4}$ | 0.002 | 13.2 | 1.2 |
| | 0.004 | 30.6 | 1.7 |
| | 0.006 | 41.0 | 2.7 |
| $3\frac{1}{2}$ | 0.002 | 9.7 | 0.73 |
| | 0.004 | 11.1 | 1.2 |
| | 0.006 | 13.2 | 1.6 |
| $3\frac{3}{4}$ | 0.002 | 6.3 | 0.73 |
| | 0.004 | 8.3 | 1.2 |
| | 0.006 | 9.4 | 1.5 |

注：端延びは測れず
素材はスキンバーリングした鋼鉄, $0.044\text{ mm} \times 100\text{ mm}$

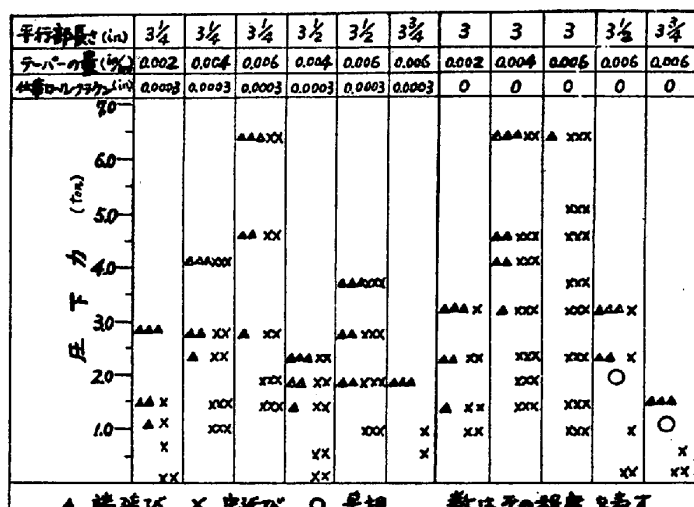


図5. オ1中間ロール形状の圧延板の平坦さに及ぼす影響。
(前引張力 15 kg/mm^2 、後引張力 20 kg/mm^2)

端延びの現われ始めの条件をそのロール形状で最も平坦な薄板の得られる圧下力(P_f)と仮定して結果を整理した。ただし、この実験ではワーフ・ロールはフラット・ロールである。表1はその結果で最後の項は P_f の値である。この結果からることは、平行部長さが同一であればテーパー量が大きくなるほど P_f は増加し従って1パス圧下率も大きくなる。一方、テーパー量を同一にとて比較を行なうと平行部長さが長くなるほど P_f は小さくなる。

2・1において静的圧下による圧痕分布と薄板の平坦さあるいは伸び方との対応があることが分っているが、オ1中間ロールにテーパー・ロールを使用してもこのことが成立するかどうかを検討すると共に、オ1中間ロールの形状の圧痕分布に及ぼす影響を調べた。素材、圧下条件、圧痕分布の測定法は前と全く同一である。

図6(次頁)は平行部長さを一定としてテーパー量の影響を示した

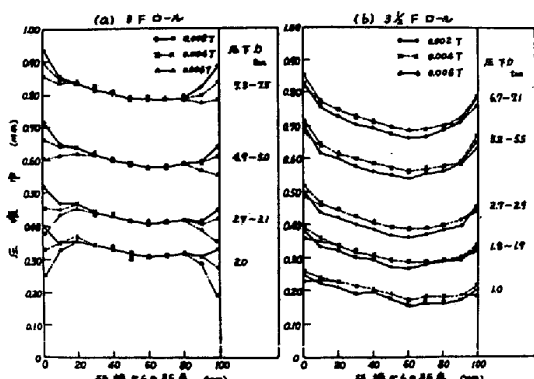


図6. 圧痕中分布におけるテーパー量の影響

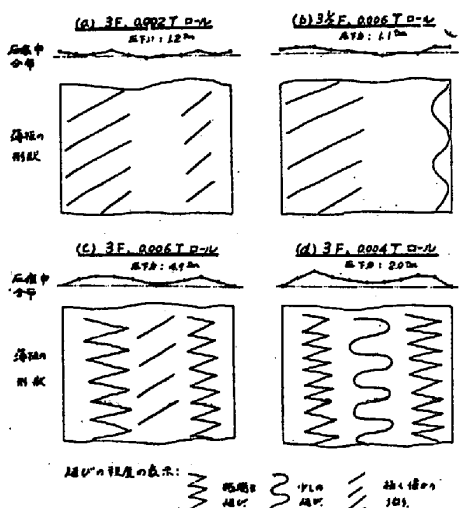


図7. 圧痕中分布から薄板の伸びの推定

また、図5から分かるように平坦な薄板の得られるロール形状は、 P_f が小さく、1パス圧下率も小さい条件である。大きい1パス圧下率を得る方法はテーパー量を大きくするのも1つの方法であるが他の方法は小さいテーパー・ロールを組合せて使用することも考えられる。この2つの方法で圧延した。一例として平行部長さが3½Fでテーパー量が0.0189Tのロール1本と3½F, 0.0065Tを3本使用した場合とを比較すると前者は著しい端伸びを生じたのに反し、後者では端伸びは余り生じなかった。すなわち、大きい圧下率を得て平坦な薄板を圧延するためにはテーパー量の小さいものを組合せて使用する方が有効である。

なお、テーパー・ロールを使用した場合のワーフ・ロールの弯曲は、ロール形状によりテーパー・肩部から半中間ロール側に弯曲するものと、板側に弯曲する場合があることを認めたが詳細は発表の時にゆづる。

3. 総括 小型ワーフ・ロールをもつセシングミーヤ20段圧延機で平坦な薄板を得るためにロール形状に関する実験的解析を行った。結果は次の如く總括することができる。

1) 静的圧下によるロール圧痕中の板中方向の分布(ロール圧痕の形状)は圧延した薄板の平坦さと良い対応性を示し、圧痕中分布の解析から平坦な薄板の得られるワーフ・ロールクラウンの形状を決定した。この形状は従来、2段圧延機には適正なクラウンであるとされていた放物線型ではなく、円型あるいは角型に近似している。

2) 半中間ロールの形状と平坦な薄板の得られる圧延条件について検討した。比較的平坦な薄板の得られる圧下力(P_f)は平行部長さが一定であればテーパー量の大きいほど P_f は大きく、従って1パス圧下率も大きい。薄板の平坦さという観点からは平行部長さが長いが、テーパー量が小さい方がよく、大きい1パス圧下率を得るにはテーパー量を大きくするより、テーパー・ロールを組合せる方が有効である。

もので、ほぼ同一圧下力について比較を行なっていき。

a) 図から明白に分るようにテーパー・肩部から中央(板端から20~80mm)に渡る圧痕中分布は圧下力が同一であればテーパー量の大小に拘らず同一であり、テーパー量によって異なるものは板の端部の圧痕中分布である。すなわち、テーパー量が大きくなるにつれて圧痕中は小さくなりテーパー量による圧痕中の順序は圧下力が大きくなってしまいである。こいで注意すべきことは、中央部の圧痕中分布は同じでも板の延び方は、板の両端の圧痕中を絶んだ規準線と圧痕中分布との差で表わされるので同一圧下力においてはテーパー量が異なると圧延板の形状は著しく差異がある。

この圧痕中分布の結果をもとにして板の延び方の推定図を描くと図7の如くなる。図のa), b) は圧延した場合に平坦な板の得られるロールであるが、圧痕中分布から推定しても規準線とよく一致しており形状はよいことが分る。また、平行部長さが短かい3Fロールでは(c), d)図)テーパー・肩部に対する応じたところに異常伸びが現われることが明白に分り、圧延した板の形状と合致している。

表1または図5から分かるように平坦な薄板の得られるロール形状は、 P_f が小さく、1パス圧下率も小さい条件である。大きい1パス圧下率を得る方法はテーパー量を大きくするのも1つの方法であるが他の方法は小さいテーパー・ロールを組合せて使用することも考えられる。この2つの方法で圧延した。一例として平行部長さが3½Fでテーパー量が0.0189Tのロール1本と3½F, 0.0065Tを3本使用した場合とを比較すると前者は著しい端伸びを生じたのに反し、後者では端伸びは余り生じなかった。すなわち、大きい圧下率を得て平坦な薄板を圧延するためにはテーパー量の小さいものを組合せて使用する方が有効である。